

徳島市内河川の流況および水質変化における潮汐の影響

徳島大学工業短期大学部 正会員。村上仁士

同 上 正会員 細井由彦

日本電信電話公社 正会員 曾根正秀

東洋建設(株) 正会員 麻西幸二

1.まえがき 徳島市内河川の水質は現在徐々に改善のさざしをみせているが、いまだ十分なものであるとはいいがたい。そのため浄化対策の一法として吉野川からの清浄水の導入が考案され、図-1で示すP点に浄化ポンプが設けられた。このポンプの効果的な運用のためには、当該水域の水量、水質の輸送伝播特性の適切な把握が必要である。とくに本水域は、図-1のP,L两点の北側に河口の3点から潮汐の影響をうけ、複雑な流況を示すものと考えられる。そこで、本文ではこの水域における流況および水質の変化をとくに潮汐との関係から述べる。

2.調査方法 調査日時は表-1に示すとおりである。これらはいずれも各月の大潮かその前後2日以内にあたっている。採水地点は図-1に示すA～Mの13地点であり、それぞれ橋上より採水を行うとともに、水深をはかりフロートを流すことにより流速の測定を行った。資料はただちにさち返り水質測定を行った。

3.潮汐と流況との関係 流況変化の一例として9月の結果を図-1中に示す。満潮時から下げ潮時にかけては全地点で流れは河口に向かっている。L,Mの両点において吉野川より流入し河口へと向かって流れているが、この両点における季節は複雑で、吉野川と河口の両側から流入することであれば、どちらへと流出している月があった。干潮時から上げ潮時にかけては、ほぼ全域で逆流がみられるが、L,M点では各調査日により流向が一定していない。A点ではつねに順流であった。つぎの満潮時には転流がみられ、A点では逆流となっている。8月と1月の調査においてA点では上げ潮時、とくに順流にもかかららず満潮時に逆流を観測した。

以上のような各観測点における流況と潮汐との関係を定量化するために、式(1)で表わされる指標を考えた。

$TE = \frac{\int (u - \bar{u}) f(u) dt}{\int |u - \bar{u}| dt}$ (1) ここでは流速で河口側を正にとる。 \bar{u} は u の平均値。 t は時刻で、積分は1潮時にわたって行なうものとする。 $f(u)$ の関数形としては正弦関数等が考えられるが、流速分布データの精度を考慮して図-2に示す

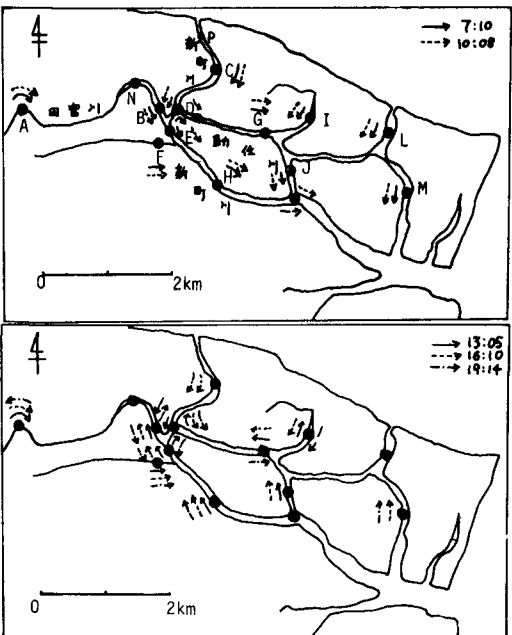


図-1 徳島市内河川の採水点と流況

表-1 各月における採水時刻

月	満潮 干潮	採水時刻				
		1	2	3	4	5
7	16:00 09:04	09:04	12:32	16:00	18:30	20:59
8	06:30 13:00	06:30	09:45	13:00	16:13	19:26
9	07:10 13:05	07:10	10:08	13:05	16:10	19:14
10	08:36 14:00	08:36	11:18	14:00	17:00	19:59
1	06:52 12:12	06:52	09:32	12:12	15:03	17:55

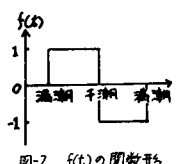


図-2 $f(u)$ の関数形

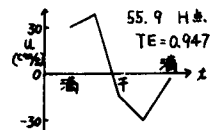


図-4 TE値の一例

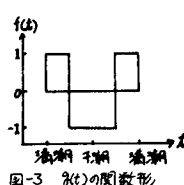


図-3 $f(u)$ の関数形

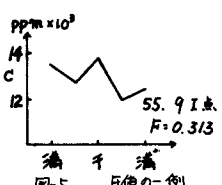


図-5 PPM値の一例

ような单純な形を与えることにした。すなわち下流下げ潮

時に正、上げ潮時に負という分布に近いほどTEは+1に近い値をとり、逆の分布に近いほど-1に近い値となることになる。

同様に潮汐の影響を塩素イオン濃度の分布からも検討するため、(2)式で与えられるFを定義した。 $F = \frac{\int (C - \bar{C}) dt}{\int (C - \bar{C})^2 dt}$ (2)

CはCl⁻の濃度、(2)の関数形は図-3に示す。およびCの分布とTE,F値の一例をそれぞれ図-4,5に示した。各点におけるTE,Fの計算結果を表-2,3に示す。B,E,H,K点ではTE,Fは全般的に高い値を示している。よって新町川では冲流および下流

ごとに潮汐に対応した水流の挙動があるものと言える。駄佐川では正値ではG点より下流で、F値によればJ点より下流ごとに潮汐に対応した動きがみられる。A点、E点はそれぞれ河口から離れており、停滞部である等の理由で、潮汐効果は小さいと考えられる。またL,Mの両地点では値の分散が大きく複雑な挙動を示している。

4 木質変動と潮汐との関係 水質変動に対する潮汐の影響をみるとため、流況に潮汐が大きく関与していると考えられる、

B,E,G,H,J,K,L,Mの各点における木質の一日前の標準偏差と平均値との比である変動係数 σ/\bar{C} をTEに対してプロットしたのが

図-6~10である。図-6におけるDOの σ/\bar{C} は他の水質に比べ低い値となっているのは、対象としたのが表面水であり、いずれの地点においても、飽和濃度に近いためである。DO,BODにおいてはTEの絶対値が大きくなると、 σ/\bar{C} も大きくなる傾向がみられ、これら日の変化には潮汐が強く影響しているものと考えられる。CODについてもほぼTEの増加にともなう σ/\bar{C} の増加の傾向がみられる。SSでは両者の間に明確な相関関係はみられず、潮汐の効果は明らかではない。PHの変動は小さく、とくに潮汐がその変動に関与しているとは言いがたい。

5 あとがき 本文においては、表面水の観測による分析結果によつて考察を進めてきた。今後より詳細な浄化および水質変化における潮汐の影響について研究を進めしていくこと、その流れおよび水質変化を立体的にとらえていく必要があると思われる。観測に御協力いただいた徳島大学衛生工学講座諸氏に感謝する。

参考文献

- 細井村上麻耶著、徳島市内河川の水質分布特性、第15回日本水理学会年次講演会講演集、1981.3.

表-2 各地点におけるTE値

	7	8	9	10	1	TE
A	0.967	-0.485	0.005	0.453	-0.772	0.034
B	0.904	0.655	0.840	0.979	0.698	0.815
C	0.226	-0.605	0.581	0.730	-0.987	-0.003
D	0.689	0.513	0.416	0.093	-	0.428
E	0.833	0.136	0.913	0.905	0.951	0.748
F	-0.244	0.402	0.450	0.986	0.957	0.510
G	-0.723	0.919	0.532	0.782	0.994	0.501
H	-0.704	0.569	0.947	-	0.792	0.401
I	-0.392	0.926	0.028	-0.429	0.406	0.027
J	-0.756	0.954	0.946	0.998	-	0.536
K	0.995	0.958	0.824	0.000	0.915	0.738
L	0.045	0.354	0.933	0.981	-0.852	0.292
M	0.436	-0.348	0.979	-1.000	0.193	0.052
N	-	0.594	-	-	-	0.594

表-3 各地点におけるF値

	7	8	9	10	1	F
A	-0.344	-0.115	-0.354	-0.971	-0.010	-0.359
B	0.920	0.757	0.842	0.400	0.941	0.772
C	-0.101	-0.869	-0.666	0.026	-0.075	-0.337
D	0.990	-0.051	0.886	-0.236	0.960	0.510
E	0.724	0.771	0.545	-0.174	0.929	0.551
F	0.914	-0.789	0.084	-0.212	-0.477	-0.088
G	0.749	0.902	0.994	0.557	0.926	0.826
H	0.817	0.415	-0.519	-0.096	0.977	0.319
I	-0.105	-0.378	-	-0.073	-0.166	-0.181
J	0.603	0.002	0.764	-	0.908	0.569
K	-0.337	-0.755	-0.313	-0.758	-0.054	-0.443
L	0.444	0.482	0.911	0.212	0.000	0.410
M	0.544	0.929	0.935	0.109	0.691	0.642
N	0.415	-0.519	0.688	-0.561	0.104	0.025
O	0.591	-0.188	0.980	0.010	-0.604	0.158
P	-	0.808	-	-	-	0.808

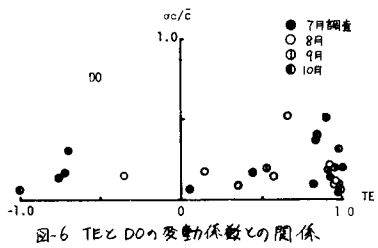


図-6 TEとDOの変動係数との関係

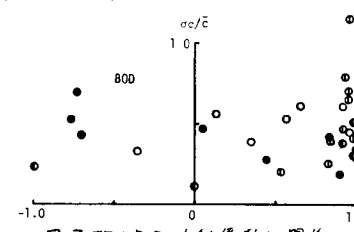


図-7 TEとBODの変動係数との関係

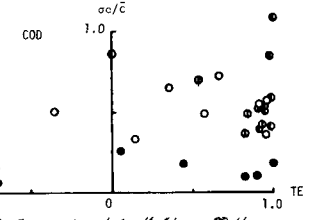


図-8 TEとCODの変動係数との関係

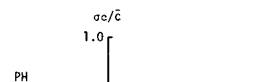


図-9 TEとPHの変動係数との関係

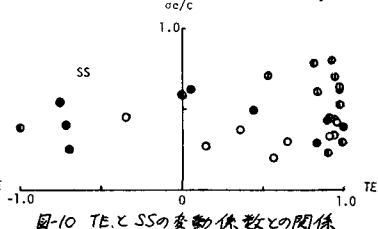


図-10 TEとSSの変動係数との関係